

شناسایی ویروس‌های آلوده کدوئیان منطقه شیراز و حومه با استفاده از آزمون‌های سرولوژیک و مولکولی

زهرا ذوالانواری^{*}، سasan قاسمی

دانشگاه آزاد اسلامی واحد شیراز، گروه گیاه‌پزشکی، شیراز، ایران

علی پاک نیت

مرکز تحقیقات کشاورزی و منابع طبیعی فارس، بخش تحقیقات گیاه‌پزشکی، زرگان، فارس، ایران

چکیده

به منظور بررسی و تعیین ویروس‌های خسارت‌زای مزارع کدوئیان در مزارع شیراز و حومه (کفترک، بابونک، تفیهان، داریون، بیدزرد، ظفرآباد، کوشک بیدک، صدرا و دوکوهک) ۵۷ نمونه از خانواده کدوئیان در تابستان سال ۱۳۹۱ جمع‌آوری گردید. برای تمامی نمونه‌های جمع‌آوری شده با استفاده از سه آنتی سرم محلی CMV، ZYMV و SqMV آزمون الایزای غیرمستقیم انجام گرفت. جهت تایید آزمون سرولوژیکی، بر روی تعدادی از نمونه‌ها آزمون مولکولی ترا نوبیسی معکوس واکنش زنجیره‌ای پلیمراز (RT-PCR) با استفاده از آغازگرهای اختصاصی مریبوطه انجام پذیرفت. نتایج نشان داد که مهمترین ویروس‌های خسارت‌زا در این مناطق به ترتیب ویروس موزائیک خیار (CMV) با ۴۹/۱ درصد آلودگی، با علائم زردی و پیسه‌ای سبززرد، ویروس موزائیک زرد کدو (ZYMV) با ۳۵/۱ درصد آلودگی با علائم پیسه‌ای سبز و بند کفشی و بد شکلی، ویروس موزائیک کدو (SqMV) با ۲۹/۸ درصد آلودگی با علائم زردی و پیسه‌ای سبززرد، ویروس موزائیک زرد کدو (ZYMV) با ۹ نمونه دارای آلودگی همزمان به سه ویروس ZYMV، CMV و SqMV مشاهده شد. همچنان در برخی مکان‌ها، آلودگی همزمان به چند ویروس مشاهده گردید. باعث این مشاهده شد. هفت نمونه دارای آلودگی همزمان به دو ویروس ZYMV و CMV با ۱۲/۳ درصد برگ مشاهده شد. هفت نمونه دارای آلودگی همزمان به دو ویروس SqMV و CMV با ۸/۷ درصد آلودگی که علائم زردی، پیسه‌ای، بند کفشی و تاولی در نمونه‌های دارای آلودگی همزمان به این شدید برگ مشاهده شد. پنج نمونه دارای آلودگی همزمان به دو ویروس CMV و SqMV با ۱/۷ درصد آلودگی که علائم آنبه صورت تاول‌های ریز سبززد فراوان در سطح برگ بود. یک نمونه دارای آلودگی همزمان به دو ویروس ZYMV و SqMV با ۱/۷ درصد آلودگی بودند.

واژه‌های کلیدی: ویروس‌های کدوئیان، آلودگی همزمان

* مسئول مکاتبات، پست الکترونیکی: nooshinzollanvar@gmail.com

مقدمه

بیماری‌های مختلف از جمله بیماری‌های ویروسی از عوامل محدود‌کننده تولید کدوئیان در دنیا می‌باشند و خسارت ویروس‌های شتهزاد از اهمیت ویژه‌ای برخوردار است (Ullman *et al.*, 1991). تاکنون بیش از ۳۵ ویروس در کدوئیان شناخته شده که تعدادی زیادی از آنها بیماری‌های مهمی را در کدوئیان ایجاد می‌کنند. بیماری‌های ویروسی هر ساله موجب خسارت شدیدی به کدوئیان می‌شوند (Provvidenti, 1996). استان فارس با سطح زیرکشت ۳۸۲۴۲ هکتار و با تولید ۱۳۲۴۶۱۰ تن محصولات جالیزی در سال ۱۳۹۱ بعد از استان‌های خراسان رضوی و کرمان در مقام سوم کشوری قرار داشته که از این میان سطح زیرکشت خیار مربوط به شهرستان شیراز و حومه (دهستان کفترک، دهستان قره باğ و دهستان دراک) در این سال در حدود ۷۰ هکتار، طالبی و گرمک ۱۰۰ هکتار، خربزه ۱۰ هکتار، کدو ۵۰ هکتار و مجموع سطح زیرکشت کدوئیان در این مناطق در حدود ۲۳۰ هکتار بوده است (Statistics letter of Zucchini yellow mosaic). ویروس موزائیک زرد کدو (Fars agricultural bureau, 2012) از مهم‌ترین و خسارت‌زاگرین ویروس‌های کدوئیان در سراسر دنیا می‌باشد (virus, ZYMV) (Lecoq *et al.*, 2001). این ویروس از نظر قدرت بیماری‌زاگی و کاهش عملکرد در بین ویروس‌های کدوئیان بسیار مهم بوده، به نحوی که اگر بیماری در مراحل اولیه رشد گیاه رخ دهد، خسارت بسیار زیاد خواهد بود (Desbiez & lecoq, 1997). علائم بیماری ناشی از ویروس شامل موزائیک، کوتولگی شدید، بدشکلی و نخی شدن برگ‌ها، بدشکلی و تاولی شدن میوه و نیز شکستگی رنگ برگ و میوه در بوته‌های آلوده می‌باشد. این بیماری از بیش از ۵۰ کشور دنیا گزارش شده است و خسارت زیادی به کشت محصولاتی از قبیل خیار، کدو، طالبی، خربزه و هندوانه وارد می‌کند (Desbiez & Lecoq, 1997).

ویروس موزائیک کدو (Squash mosaic virus, SqMV) و ویروس موزائیک خیار (Cucumber mosaic virus, CMV) از دیگر عوامل ویروسی حائز اهمیت در کدوئیان می‌باشند (Lovisolo, 1980). گزارش‌های موجود نشان می‌دهد که ویروس‌های غالب گونه‌های مختلف کدوئیان را دو ویروس ZYMV و CMV تشکیل می‌دهند (& Rahimian, 1978; Massumi *et al.*, 2007). پراکنندگی ویروس‌های موزائیک خیار، موزائیک زرد کدو و موزائیک هندوانه در استان تهران تعیین و میزان وقوع آنها به ترتیب معادل ۲۵/۱، ۳۵/۶ و ۲۶/۱٪ درصد گزارش گردید. این در حالی است که آلودگی همزمان به هر سه ویروس در ۶/۴ درصد از نمونه‌ها تعیین شد (Hosseini Farhangi *et al.*, 2004). غلامعلی زاده و همکاران ویروس‌های آلوده کننده کدوئیان را در استان گیلان ویروس‌های CMV، ZYMV، SqMV و Water melon mosaicvirus و چند ویروس دیگر معرفی نمودند. میزان آلودگی‌های همزمان به این ویروس‌ها نسبتاً بالا بود (Gholamalizadeh *et al.*, 2008).

آلوده‌کننده کدوئیان در مزارع اطراف ارومیه شامل ویروس‌های موزائیک زرد کدو، موزائیک هندوانه موزائیک خیار، لکه حلقوی پاپایا و نقطه زرد کدو با روش سرولوژیکی (DAS-ELISA) تعیین شده است. در این بررسی ویروس موزائیک هندوانه به عنوان شایع ترین و ویروس‌های موزائیک زرد کدو، خربزه ارومیه، موزائیک خیار و ویروس لکه زرد کدو به ترتیب در رتبه‌بندی بعدی قرار گرفتند. در برخی نمونه‌ها آلودگی همزمان به دو یا چند ویروس دیده شد (Rastgou et al., 2010). آلدگی به ZYMV و نیز آلدگی همزمان به دو ویروس CMV و WMV-2 از منطقه کفترک توسط آذرفر و همکاران در سال ۱۳۹۱ گزارش شده است (Azarfar et al., 2012). از آنجا که ویروس موزائیک زرد کدو، ویروس موزائیک خیار و ویروس موزائیک کدو از مهمترین ویروس‌های کدوئیان در دنیا و ایران می‌باشند و از آنجا که در مورد آلدگی‌های همزمان به ویروس‌های مذبور در منطقه شیراز و حومه گزارشی وجود ندارد تحقیق حاضر زمینه مدیریت آنها را فراهم خواهد ساخت.

مواد و روش‌ها

نمونه‌بردازی

نمونه‌های آلوده کدوئیان شامل کدو، خیار، طالبی و خربزه که دارای علائم موزائیک، بندکفشی، تاولی و توته‌ای شدن برگ بودند، در تابستان سال ۱۳۹۱ از مزارع شیراز و حومه (کفترک، بابونک، تفیهان، بیدزرد، ظفرآباد، کوشک بیدک، داریان، صدرا و دوکوهک) به صورت تصادفی (از مزارع با آلودگی شدید ویروسی) در مناطق فوق جمع‌آوری گردیدند.

آزمون الایزایی غیر مستقیم

آلودگی نمونه‌های دارای علائم مربوط به سه ویروس موزائیک خیار، موزائیک زرد کدو و موزائیک کدو با آزمون الایزایی غیر مستقیم بررسی شد. آنتی‌بادی‌های فوق به صورت محلی تهییه و توسط مرکز تحقیقات کشاورزی و منابع طبیعی استان فارس در اختیار قرار گرفتند. با توجه به اینکه سه ویروس فوق (SqMV و ZYMV، CMV) جزء ویروس‌های مهم کدوئیان در ایران و سایر نقاط جهان می‌باشند فقط از سه آنتی‌سرم CMV، SqMV و ZYMV استفاده در گردید. آنتی‌بادی‌ها بر اساس رقت مورد توصیه (CMV با رقت ۱/۳۰۰ (حجم/حجم)، ZYMV با رقت ۱/۱۵۰۰ (حجم/حجم) و SqMV با رقت ۱/۱۰۰۰ (حجم/حجم)) مورد استفاده قرار گرفتند. آنتی‌بادی ضد خرگوش متصل به آنزیم (AntirabbitIg G-E) را با رقت ۱/۲۵۰۰ (حجم/حجم) مورد مصرف قرار داد. آزمون الایزا با اصلاحاتی در روش کانورز و مارتین (۱۹۹۰) انجام پذیرفت.

آزمون مولکولی RT-PCR

از آنجایی که در آزمایشات سرولوژیک از آنتی سرم‌های محلی استفاده گردیده بود، جهت اطمینان بیشتر آزمون مولکولی ترانویسی معکوس واکنش زنجیره‌ای پلیمراز انجام پذیرفت تا صحه‌ای بر نتایج آزمون سرولوژیک باشد. این آزمون بر روی تعدادی از نمونه‌ها انجام شد. بدین منظور آر ان ای نمونه‌های برگی به دو روش استخراج شد. در روش اول برای SqMV و ZYMV که در انتهای^۳ آر ان ای آنها ترادف تکرار شونده آدنین (پلیA) وجود دارد از کیت mRNA Capture ساخت شرکت Roche بر اساس دستورالعمل شرکت سازنده استفاده شد. در روش دوم برای CMV از روش استخراج آران ای کل بر اساس روش هابیلی و همکاران (۲۰۱۲) استخراج شده به روش اول در جدول یک آمده است.

جدول ۱ - مواد استفاده شده در واکنش ترانویسی معکوس جهت استخراج آر ان ای با استفاده از کیت

Table1. Material used in reverse transcription reaction by using mRNA Capture kit

Material components	Volume (µl)
dNTPs (10mM)	5
M-MuLV RT Buffer(10x)	5
Reverse Primer(10µM)	5
M-MuLV Reverse Transcriptase(200U/µl)	0.5-1
Deionized water	34-34.5

سپس ۵۰ میکرولیتر از مخلوط تهیه شده به لوله حاوی آر ان ای استخراج شده اضافه گردید. این واکنش به مدت ۶۰ دقیقه در دمای ۴۰، ۱۰ دقیقه در ۷۰ و ۱۰ دقیقه در چهار درجه سلسیوس انجام شد.

واکنش ترانویسی معکوس با استفاده از آر ان ای کل

در این روش از آنزیم M-MuLV (سیناژن) مطابق روش پیشنهادی شرکت سازنده استفاده گردید. ۱۰/۵ میکرولیتر آر ان ای کل با دو میکرولیتر آغازگر معکوس ویروس مخلوط شد. سپس به مدت ۱۰ دقیقه در دمای درجه سلسیوس قرار داده شد. در این واکنش از آغازگرهای معکوس هر ویروس (جدول ۲) استفاده شد. به مخلوط فوق ۲ میکرو لیتر dNTPs (10mM)، ۲ میکرو لیتر (10x) M-MuLV RT Buffer (200U/µl)، ۱ میکرو لیتر (10mM) M-MuLV RT Buffer (10x)، ۲۰ میکرو لیتر و Reverse Transcriptase ۱۵ میکرو لیتر Dionozed water اضافه گردید. پس از آن ۲۰ میکرو لیتر مخلوط فوق به ۱۲/۵ میکرو لیتر آر ان ای کل اضافه شده یک ساعت در دمای ۴۲ درجه در دمای ۷۰ و ۱۰ دقیقه در دمای ۴ درجه سلسیوس قرار داده شد.

آزمون واکنش زنجیره‌ای پلیمراز (PCR)

واکنش زنجیره‌ای پلیمراز مطابق چرخه دمایی ۴ درجه سلسیوس جهت واشرسته کردن

اولیه، چهل سیکل شامل ۳۰ ثانیه دمای ۹۴ درجه سلسیوس ، ۴۵ ثانیه دمای تافت (مطابق جدول ۲ برای هر جفت آغازگر) و یک دقیقه دمای ۷۲ درجه سلسیوس و در نهایت ۱۵ دقیقه در دمای ۷۲ درجه سلسیوس جهت بسط نهایی در نظر گرفته شد.

جدول ۲- ترادف آغازگرهای استفاده شده در واکنش زنجیره ای پلیمراز

Table 2 . Primers used in polymerase chain reaction

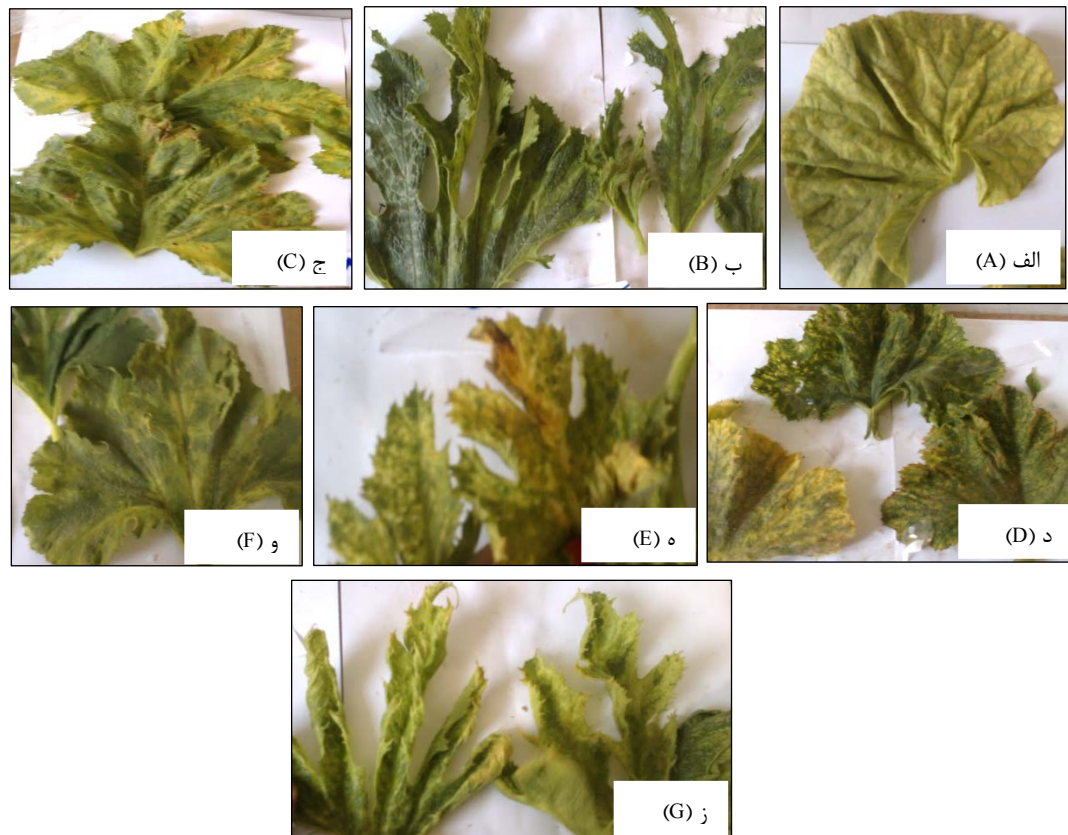
Primer	Sequence	Annealing temperature(°C)	Expected pairbase	Reference
CMV cpF	5'-TTG AGT CGA GTC ATG GAC AAA TC-3'	48	650	Khoshkhati, &jafary, 2010
CMV cpR	5'-AAC ACG GAA TCA GAC TGG GAG-3'	48		
ZMYVF Nlb	5'-GGG GGA TCC CAT ACA TAG CTG AGACAG C-3'	48	790	Kunduetal.,1997
ZYMV R3-1M	5'-GGG GAA TTC CGG AGT CTA ATC TCG AGC-3'	48		
SqMV F	5'-GCA TGG TCC ACW CAG GT-3'	49		Besseraetal., 2011
SqMV R	5'-YTC RAA WCC VYT RTT KGG MCC ACA-3'	49	600-700	

*در این آغازگرها کدهای دُزنه عبارتند از:

*M= C/A, Y= C/T, R= A/G, W= A/T, V= G/C, K= G/T Degenerated codes include:

نتایج

علائم شناسایی بیماری‌های ویروسی یافته شده بر روی میزبان‌های جمع‌آوری شده در نمونه‌های کدو آلوده به CMV علائم به صورت زردی برگ و پیسه‌ای سبز رشد مشاهده شد (شکل ۱- الف). نمونه‌های کدو آلوده به ZYMV با علائم پیسه‌ای سبز و بندکفشی همراه بود (شکل ۱- ب). در نمونه طالبی آلوده به SqMV تنها زردی در برگ مشاهده شد این در حالی است که در کدوی آلوده به این ویروس حالت پیسه‌ای در برگ را نشان می‌داد (شکل ۱- ج و ۱- د). علائم زردی، بندکفشی و تاولی در نمونه‌های دارای آلودگی همزمان به دو ویروس CMV و ZYMV دیده شد. تشکیل حالت بندکفشی و تاولی در این نمونه‌ها چندان شدید نبود (شکل ۱- ه). علائم در نمونه‌های آلوده به دو ویروس CMV و SqMV به صورت تاول‌های ریز سبز رشد فراوان در سطح برگ دیده شد (شکل ۱- و) و در نهایت در نمونه دارای آلودگی همزمان به سه ویروس CMV، ZYMV و SqMV حالت پیسه‌ای، تاولی و بندکفشی بسیار شدید و تاول‌های بسیار بزرگ در سطح برگ مشاهده گردید (شکل ۱- ز). همان‌طور که مشاهده می‌شود علائم ZYMV به تنها یی و در آلودگی همزمان این ویروس با ویروس‌های CMV و SqMV مشابه نمونه دارای آلودگی تنها به آن ویروس بود. تشخیص هر یک از این ویروس‌ها بر اساس علائم به تنها یی بسیار دشوار خواهد بود.



شکل ۱- علائم بیماری ناشی از ویروس‌های ZYMV، CMV و SqMV در نمونه‌های جمع‌آوری شده در آلودگی‌های تنها و همزمان ۱-الف: کدو آلوده به CMV؛ ۱-ب: نمونه کدو آلوده به ZYMV؛ ۱-ج و ۱-د: به ترتیب نمونه طالبی و کدو آلوده به SqMV؛ ۱-ه: نمونه کدو دارای آلودگی همزمان به دو ویروس CMV و ZYMV؛ ۱-و: نمونه کدو دارای آلودگی همزمان به دو ویروس CMV و SqMV؛ ۱-ز: نمونه کدو دارای آلودگی همزمان به سه ویروس CMV، ZYMV و SqMV.

Figure 1. Symptoms induced by CMV, ZYMV and SqMV with single and mixed infections. 1-A: infected Squash by CMV, 1-B: Infected Squash by ZYMV, 1-C and 1-D: Infected Squash and muskmelon by SqMV. 1-E:Infected squash with mixed infection by CMV and ZYMV, 1-F: Infected squash with mixed infection by two viruses CMV and SqMV.1-G: Infected squash with mixed infection by three viruses CMV, ZYMV and SqMV.

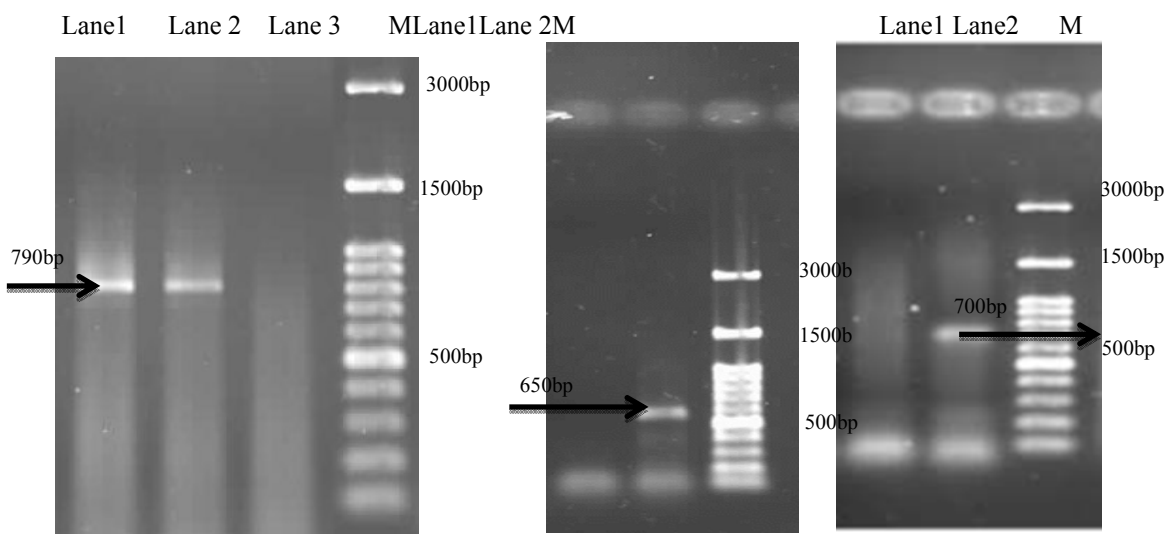
جدول ۳- درصد آلودگی جمعیت کدوئیان به ویروس‌های مورد بررسی

Table 4. Percentage of infected cucurbits by investigated viral diseases

Percentage of infection	No. of infected specimens	Infecting viruses	Total samples
49.1	28	CMV	
35.1	20	ZYMV	
29.8	17	SqMV	
15.8	9	SqMV, ZYMV, CMV	57
12.3	7	CMV, ZYMV	
8.7	5	CMV, SqMV	
	1	ZYMV, SqMV	

نتایج آزمون سرولوژیکی الیزا نشان داد که مهمترین ویروس‌های خسارت‌زا در این مناطق را به ترتیب ویروس موزائیک خیار با ۴۹/۱۰ درصد، ویروس موزائیک زرد کدو با ۳۵/۱ درصد و ویروس موزائیک کدو با ۲۹/۸ درصد آلودگی تشکیل می‌دهند. همچنین در برخی نمونه‌ها، آلودگی‌های همزمان با چند ویروس مشاهده گردید. ۹ نمونه ۱۵/۸ درصد آلودگی همزمان به سه ویروس CMV, ZYMV و SqMV، هفت نمونه ۱۲/۳ درصد آلودگی همزمان به دو ویروس CMV و SqMV و یک ZYMV، پنج نمونه ۸/۷ درصد آلودگی همزمان به دو ویروس SqMV و ZYMV و CMV را نشان دادند. براین اساس به ترتیب ویروس‌های CMV, ZYMV و SqMV بیشترین پراکنش در کدوئیان ناحیه شیراز و حومه را به خود اختصاص دادند.

پس از انجام آزمون الیزا به منظور تایید آن از آزمون مولکولی استفاده گردید. از نمونه کدو بیدزرد و کدو صدرا جهت صحت وجود ویروس ZYMV (شکل ۲-الف)، از نمونه کدو شیراز جهت صحت وجود ویروس CMV (شکل ۲-ب) و از نمونه کدو کفترک جهت صحت وجود ویروس SqMV (شکل ۲-ج) در آزمون مولکولی RT-PCR استفاده گردید.



شکل ۲-الف

شکل ۲-ب

شکل ۲-ج

شکل ۲-الف: نقوش الکتروفورزی محصول واکنش PCR با استفاده از جفت آغازگر اختصاصی ZYMV FNlb ۱- کدو بیدزرد آلوده ۲- کدو صدرا آلوده ۳- نمونه کدو سالم شکل ۲-ب: نقوش الکتروفورزی محصول واکنش PCR با استفاده از جفت آغازگر اختصاصی CMV cpR/CMV cpF ۱- نمونه گیاه سالم ۲- نمونه کدو شیراز آلوده شکل ۲-ج: نقوش الکتروفورزی محصول واکنش PCR با استفاده از جفت آغازگر دژنره نمونه کدو شیراز آلوده ۱- نمونه کدو سالم ۲- کدو کفترک آلوده M- در کلیه عکس ها نشانگر مولکولی ۳۰۰۰-۱ جفت باز (شیناشن)

Figure A . Agarose gel electrophoresis analysis of RT-PCR products amplified with ZYMV FNlb/ ZYMVR3-1M specific primer pair. Lane1:Bidzard's infected Squash,Lane2:Sadra's infected squash,Lane3:Non-infected sample Fig B:Agarose gel electrophoresis analysis of RT-PCR products amplified with CMV cpF/ CMV cpRspecific primer pair.Lane1:Non-infected sample,Lane2: Shiraz's infectedFig C:Agarose gel electrophoresis analysis of RT-PCR products amplified with SqMV F / SqMV R degeneratedprimer pair. Lane1: :Non-infected sample Lane2:Kaftarak's infected squash 3:Non-infected sample M:In all figures is molecular ladder 100-3000 bp cinnagene coorporation.

بحث و نتیجه گیری

همان طور که از نتایج آزمون الایزا و نتایج مولکولی استنباط می‌گردد در اکثر مناطق مورد بررسی حداقل یکی از ویروس‌های CMV، ZYMV و SqMV وجود داشته و در برخی مناطق از جمله کفترک، بیدزرد و شیراز، این ویروس‌ها به صورت همه‌گیر در آمده‌اند به طوریکه در اکثر نقاط به شدت در سطح مزرعه قابل مشاهده بود. به طور کلی علائم این سه ویروس بر روی کدوئیان مشابه بوده ولی طبق مطالعه گفته شده علائم SqMV از بقیه خفیفتر بوده و با افزایش گرما علائم از بین می‌رود. در این مطالعه مشاهده شد که حالت بندکفشی در نمونه‌های جمع‌آوری شده در آلودگی همزمان به سه ویروس CMV، ZYMV و SqMV بسیار شدید بوده (شکل ۱-ز)، در حالیکه در آلودگی منفرد به هر کدام از این ویروس‌ها، بیشتر حالت پیسه‌ای و

تاولی مشاهده شد و حالت بندکفشه یا بسیار خفیف بوده و یا اصلا وجود نداشت شکل‌های (۱-الف، ۱-ب، ۱-ج و ۱-د). بر اساس مطالعات قبلی می‌توان چنین گفت که این سه ویروس اثر سینرژیستی بر یکدیگر داشته که با نتایج Zhang et al.,(2001) مطابقت دارد. همانطور که در شکل (۱-ز) مشاهده می‌گردد در مقایسه با شکل (۱-الف، ۱-ب، ۱-ج و ۱-د)، نمونه‌ها دارای علائم شدیدتری بوده و علاوه بر موزاییک، حالت شکاف در برگها، زردی شدید، تاولی و پیسه‌ای نیز در آنها مشهود است.

بیشترین آلودگی همزمان به سه ویروس CMV، ZYMV و SqMV مربوط به منطقه دوکوهک و پس از آن به ترتیب مربوط به مناطق کفترک و صدرا و شیراز بوده است. بیشترین آلودگی همزمان به دو ویروس CMV و ZYMV در منطقه بیدزرد و پس آن در منطقه ظفرآباد و کوشکبیدک مشاهده گردید. همچنین وجود آلودگی همزمان به دو ویروس CMV و SqMV به ترتیب در مناطق شیراز، کفترک و تفیهان به اثبات رسید. مهمترین حشرات ناقل ویروس‌های CMV و ZYMV، شته‌ها به خصوص شته سبزپنبه (*Aphis gossypii*) و شته سبزه‌لو (*Myzus persicae*) می‌باشد (Raccha et al., 1985) که از آفات مهم زراعی در ایران محسوب می‌گردند. با توجه به اینکه شته‌ها به سرعت تکثیر یافته و راندمان انتقال بالای دارند، آلودگی به ویروس‌هایی که با این ناقلين منتقل می‌شوند طبق نتایج به دست آمده بیشتر مشاهده شد. اما آلودگی کمتری به ویروس SqMV که به وسیله سخت‌بال‌پوشان (بیشتر از تیره Chrysomelidae) منتقل می‌شود (Agrios, 2005) در مزارع مورد مطالعه مشاهده گردید. بهترین روش کاهش خسارت ویروس‌های کدوئیان استفاده از ارقام مقاوم یا متتحمل است که در این زمینه برخی از ارقام مقاوم خیار معرفی شده‌اند (Provvidenti, 1996). استفاده از حشره‌کش‌ها در جهت کنترل آلودگی‌های ایجاد شده توسط ویروس‌هایی که به صورت نایایا منتقل می‌گردند موثر نیست، بنابراین ایجاد یا شناسایی منابع ژنتیکی مقاوم راه مناسبی جهت کنترل این گونه ویروس‌ها می‌باشد (Diaz et al., 2003).

منابع

- Agrios, G.N. 2005. *Plant Pathology*. Fifth edition. Florida: Dana Dreibelbis.
- Azarfar, A., Izadpanah, K., Afsharifar, A., & Massumi, A. 2012. Purification and the complete sequence of Zucchini mosaic virus Fars isolate. *Plant Pathology*, 48: 403-409.
- Beserra Junior, J. E. A., Andrade, E. C., AraújoCamarço, R. F. R., Nascimento, A. K. Q., & Lima, J. A. A. 2011. Sequence variability in the coat protein gene of *Cowpea severe mosaic virus* isolates from northeastern Brazil. *Tropical Plant Pathology*, 36(2): 121-124.
- Converse, R. H. & Martin, R. R. 1990. ELISA methods for plant viruses. pp: 179-196 .In: Hampton, R. O., Ball, E. M. and DeBoer, S. H. (Eds.) *Serological Methods for*

- Detection and Identification of Viral and Bacterial Plant Pathogens, A Laboratory Manual*. APS Press, USA.
- Desbiez, C. & Lecoq, H. 1997. Zucchini yellow mosaic virus. *Plant Pathology*, 46:809-829.
- Diaz, J. A., Mallor, C., Soria, C., Camero, R., Garzo, E., Fereres, A., Alvarez, J. M., Gomez-Guillamon, M. L., Luis-Arteaga, M. & Moriones, E. 2003. Potential sources of resistance for melon to nonpersistently aphid-borne viruses. *Plant Diseases*, 87:960-964.
- Gholamalizadeh, R., Vahdat, A., Keshavarz, T., Elahinia, S. A., Sharaeen, N. & Bananej, K. 2008. Occurrence of Ourmia melon virus in the Guilan Province, Iran. *Acta Virology*, 5 :113-118.
- Habili, N., Arthur, K., Davies, R. & Randles, J. W. 2012. Detection of dual infection with Grapevine rupestris stem pitting-associated virus and Uncinulanecator in grapevines by single-tube RT-PCR. *17th Meeting of the International Council for the Study of Viruses and Virus-like Diseases of the Grapevine* (ICVG). October 7-14 2012, UC Davis, California, USA, pp 148-149.
- Hosseini Farhangi, S., Masahebi, Gh., KoohiHabibi, M. & Okhovat, M. 2004. Identity of *Zucchini yellow mosaic virus* characteristics in Squash fields of Tehran province. *Proceeding of the 16th Iranian Plant Protection Congress*, Tabriz University, Tabriz, Iran, p. 265.
- Kundu, A. K. Ohshima, K. Sako, N. & Yaegashi, H. 1997. Nucleotide sequences of the cylindrical inclusion protein genes of two Japanese zucchini yellow mosaic virus isolates. *Acta Virologica*, 43:57-62.
- Khoshkhatti, N. & Jafary, H. 2010. Distribution of Cucumber mosaic virus (CMV) on cucurbit plants in Zanjan province. *Proceeding of the 19th Iranian Plant Protection Congress*, Iranian Research Institute of Plant Protection, p. 680.
- Lecoq, H., Dafalla, G., Desbiez, C., Wipe-Schiebel, C., Dellecole, B., Lanina, T., Ullah, Z. & Gramet, R. 2001. Biological and molecular characterization of Moroccan Watermelon Mosaic Virus and a potyvirus isolates from eastern Sudan. *Plant Disease*, 85:547-552.
- Lovisolo, O. 1980. Virus and viroid diseases of cucurbits. *Acta Horticulture*, 88:979-982.
- Massumi, H., Samei, A., Hosseini pour, A., Shaabanian, M. & Rahimian, H. 2007. Occurrence, distribution, and relative incidence of seven viruses infecting greenhouse-grown cucurbits in Iran. *Plant Diseases*, 91:159-163.
- Provvidenti, R. 1996. Diseases caused by viruses , pp:37-45. In: Zitter, T. A., Hopkins, D. L. & Thomas, C. E. (Eds.) *Compendium of Cucurbit Diseases*, Minnesota, USA, APS press.
- Ghorbani S. 1998. Isolation of zucchini yellow mosaic virus in Tehran province. *Journal of Plant Pathology*, 24:25-34.
- Raccah B., Gal-On A. & Eastop VF. 1985. The role of flying aphid vectors in the transmission of cucumber mosaic virus and potato virus Y to peppers in Israel. *Annals of Applied Biology*, 106:451-460.
- Rahimian, H. & Izadpanah, K. 1978. Identity and prevalence of mosaic inducing cucurbit viruses in Shiraz, Iran. *Phytopathology*, 92:305-312.

- Rastgou, M., Koohi Habibi, M., Izadpanah, K. & Masahebi, Gh. H. 2010. Frequency of cucurbit viruses around Urmia and first report of *Zucchini yellow fleck virus*. *Proceeding of the 19th Iran Plant Protection Congress*, Iranian Research Institute of Plant Protection, p. 755.
- Statistics Letter of Fars Agricultural Bureau. Horticultural and Crop Products. 2012. First edition.
- Ullman, D. E., Cho, J. J. & German TL. 1991. Occurrence and distribution of viruses in Hawaiian Islands. *Plant Diseases*, 75:367-370.
- Zhang, X. S., Holt, J. & Colvin, J. 2001. Synergism between plant viruses: A mathematical analysis of the epidemiological implications. *Plant Pathology*, 50:732-746.